

## Kraujodaros kamieninių ląstelių dinamika

D. Švitra (KU, MII), R. Retkutė (KU)

Šiame straipsnyje apžvelgiami kai kurie kraujodaros kamieninių ląstelių (KKL) gamybos reguliavimo matematiniai modeliai. Daugumai fiziologinių procesų būdingi ryškūs kintamujų svyravimai, kurie atsiranda dėl grįztamojo ryšio signalo perdavimo vėlavimo. Todėl vėlavimo įtraukimas į diferencialines lygtis, aprašančias organizmo fiziologinių sistemų funkcionavimą ir organizaciją, yra esminis matematinis metodas.

### 1. Įvadas

Daugumai fiziologinių procesų būdinga ryškus kintamujų svyravimas. Tokie procesai yra susisteminti Ch. Rimano knygoje "Periodinės ligos" [1], kur aprašyta nemažai ligų, turinčių periodines charakteristikas. Visoms šioms ligoms būdinga tai, kad jų paumėjimai ir remisijos kartojasi labai pastoviu periodu, kuris nėra susijęs su jokiais periodiniais poveikiais organizmui.

Periodinių svyravimų buvimas leidžia teigti, kad organizmo kontrolės mechanizmai veikia grįztamojo ryšio principu. Kai kurie fiziologiniai kontrolės mechanizmai turi paslėptų jiems būdingų ciklinės elgsenos savybių, kurios, esant normaliomis fizinėms sąlygomis, yra nepastebimos, bet gali pasireikšti veikiant stresui, tiek natūraliam (liga), tiek eksperimentiniam (vaištų poveikis, spinduliaiavimas).

Fiziologinėse sistemoje valdymo signalo perdavimas susijęs su tokiais palyginti ilgalaikiais procesais kaip dauginimasis, augimas ir brendimas. Vėlavimas yra esminis fiziologinių sistemų ypatumas, apibrėžiantis svyravimų atsiradimą, jų periodą ir amplitudę. Todėl vėlavimo įtraukimas į diferencialines lygtis, aprašančias organizmo fiziologinių sistemų funkcionavimą ir organizaciją, yra esminis matematinis metodas.

Jau yra sukaupta daug faktų, rodančių, kad kraujodara yra griežtai kontroliuojamas procesas [2]. Daugumoje matematinių modelių ląstelių skaičiaus svyravimai aiškinami tuom, kad krauko apytakos sistemoje vėlinimas atsiranda dėl ląstelių brendimo ir diferenciacijos.

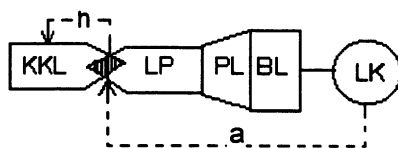
### 2. Bendrieji kraujodaros reguliacijos principai

Kraują sudaro plazma ir joje esantys forminiai elementai: raudonieji krauko kūneliai (eritrocitai), baltieji krauko kūneliai (monocitai, granulocitai, leukocitai) bei trombocitai. Kiekvienos rūšies krauko ląstelės atlieka organizme tam tikrą funkciją ir turi apibrėžtą gyvavimo ciklą. Žinduolių krauko ląstelės sukuriamos ir brėsta kaulų smegenų kraujodaros ląstelėse (kaulų čiulpuose). Krauko ląstelių populiacija neišsenka dėl aukšto proliferacino jaunesnių ląstelių pradininkų potencialo. Visų krauko gamybos krypčių pradininkės- tai kraują gaminančios ląstelės (KKL – kraujodaros kamieninės ląstelės). Reikia pažymėti,

kad morfologiniai ir citocheminiai tyrimo būdais KKL nėra atpažintos, bet jų egzistavimą patvirtina įvairūs netiesioginiai būdai. KKL priklauso lastelės, kurios pasižymi šiomis savybėmis:

- 1) Sugeba pačios palaikyti savo populiacijos dydį tam tikrose ribose.
- 2) Gali diferencijuotis į tam tikrą rūšį.

KKL lastelių diferenciacijos procesas vyksta keliomis stadijomis ir yra negrižtamas: lastelės iš labiau diferencijuotos būsenos negali grįžti į mažiau diferencijuotą. Diferenciacijos proceso metu KKL apsiriboję galimybė pasirinkti diferenciacijos kryptį.



1 pav. Dinaminė kraujo lastelių susidarymo schema.

1 paveiksle parodyta dinaminė kraujo susidarymo schema, čia KKL – kamieninės kraujodaros lastelės, LP – lastelės pradininkės, PL – poliferuojančios lastelės, BL – brėstančios lastelės, LK – lastelės, cirkuliuojančios kraujyje,  $a$  – neigiamo grįžtamojo ryšio parametras,  $h$  – laikas, reikalingas lastelei pradininkei išeiti iš KKL.

### 3. Matematinis modeliavimas

Tarkime, proliferacija ir komitacija yra valdomi lastelių skaičiaus. Tuomet paprasčiausia kamieninių lastelių dinamikos lygtis bus:

$$S'(t) = \alpha[S(t), S(t-h)] - \beta[S(t), S(t-h)]. \quad (1)$$

Čia  $S(t)$  – kamieninių lastelių skaičius,  $\alpha$  ir  $\beta$  – atitinkamai proliferacijos ir komitacijos greičiai, priklausantys nuo kamieninių lastelių skaičiaus.

Atsižvelgiant į šiam procesui būdingą vėlavimą, nagrinėjami šie atvejai:

1. Kamieninių lastelių kitimas aprašomas logistiniu dėsniu. Tada

$$\alpha = r_s S(t), \quad \beta = \frac{r_s S(t-h) S(t)}{K_s}, \quad (2)$$

čia  $r_s$  – maksimalus tiesinis KKL augimo greitis,  $K_s$  – vidutinis kamieninių lastelių skaičius.

2. Kamieninių lastelių proliferacijos greitis aprašomas Mono dėsniu, o komitacijos greitis tiesiai proporcingas lastelių skaičiui. Tada

$$\alpha = \frac{\alpha_m S(t)}{1 + a S^n(t-h)}, \quad \beta = \beta_0 S(t), \quad (3)$$

čia  $\alpha_m > 0$  ir  $\beta_0 > 0$  – atitinkamai proliferacijos ir komitacijos tiesiniai (maksimalūs) greičiai,  $a$  ir  $n$  – tam tikri teigiami parametrai.

3. Kamieninių ląstelių proliferacijos greitis aprašomas modifikuotu Mono dėsniu, o komitacijos greitis tiesiai proporcingas ląstelių skaičiui. Tada

$$\alpha = \frac{\alpha_m S(t-h)}{1 + \alpha S^n(t-h)}, \quad \beta = \beta_0 S(t), \quad (4)$$

čia  $\alpha_m > 0$  ir  $\beta_0 > 0$  – atitinkamai proliferacijos ir komitacijos tiesiniai(maksimalūs) greičiai,  $\alpha$  ir  $n$  – tam tikri teigiami parametrai.

#### 4. Modelio, aprašomo logistiniu dėsniu, analizė

Iš (1) ir (2) gausime diferencialinę lygtį su vėlavimu:

$$S'(t) = r_S S(t) \left[ 1 - \frac{S(t-h)}{K_S} \right]. \quad (5)$$

Lygties (5) savybės išnagrinėtos monografijoje [3].

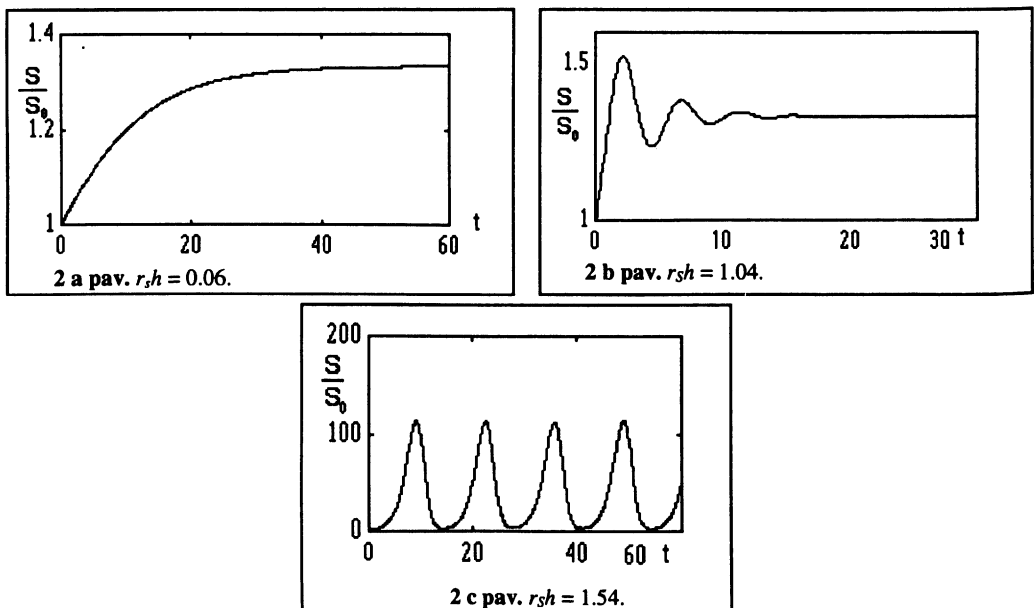
Si lygtis pasižymi tokiomis pagrindinėmis savybėmis:

1. Visi lygties (5) sprendiniai  $S(t)$  su teigiamomis pradinėmis sąlygomis yra teigiami ir aprežti.

2. Jei  $0 < r_S h \leq \pi/2$ , tai sprendinys  $S(t) \rightarrow K_S$ ,  $t \rightarrow \infty$ . Sprendinys artėja prie  $K_S$  dviem būdais:

- monotoniškai didėdamas, kai  $0 < r_S h \leq 1/e$ ;
- svyruodamas apie pusiausvyrą būseną  $S(t) \equiv K_S$ , kai  $1/e < r_S h \leq \pi/2$ .

3. Prie  $r_S h > \pi/2$  lygtis (5) turi periodinį sprendinį.



Skaitmeninis lygties (5) sprendimas ESM pagalba pavaizduotas 2 a, 2 b ir 2 c pav.

## 5. Modelio, aprašomo Mono dėsniu, analizė

Nagrinėsime diferencialinę lygtį su vėlavimu:

$$S'(t) = \left[ \frac{\alpha_m}{1 + aS^n(t-h)} - \beta_0 \right] S(t) \quad (6)$$

Lygtis (6) turi dvi pusiausvyros būsenas  $S(t) = 0$  ir  $S(t) = \sqrt[n]{\frac{\alpha_m - \beta_0}{a\beta_0}}$ .

Akivaizdu, kad nulinė pusiausvyros būsena nestabili.

Lygyje (6) darome pakeitimą  $S(t) = \sqrt[n]{\frac{\alpha_m - \beta_0}{a\beta_0}}(1 + x(t))$ , skleidžiame Teiloro eilute nulio aplinkoje, ją linearizuojame ir gauname lygtį:

$$x'(t) + \frac{\beta_0(\alpha_m - \beta_0)n}{\alpha_m} x(t-h) = 0. \quad (7)$$

Jos charakteringas kvazipolinomas:

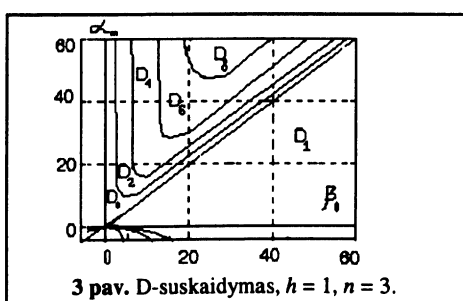
$$P(\lambda) = \lambda + \frac{(\alpha_m - \beta_0)\beta_0 n}{\alpha_m} e^{-h\lambda} = 0. \quad (8)$$

Parametru  $\alpha_m$ ,  $\beta_0$  plokštumoje išskiriame stabilumo sritį, atlikdami D-suskaidymą. I lygtį (8) įstatome  $\lambda = i\sigma$ , išskiriame realią ir menamą dalis ir iš lygybės  $\text{Re}P(\lambda) = \text{Im}P(\lambda) = 0$  gauname:

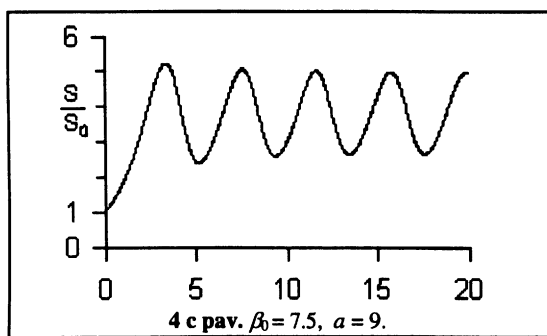
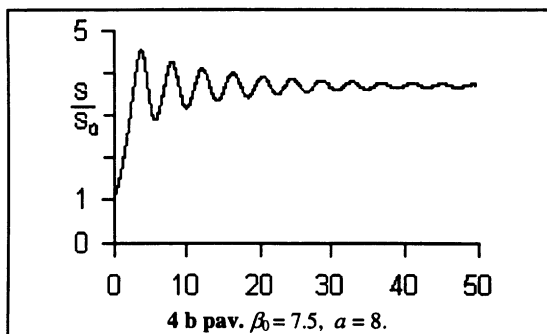
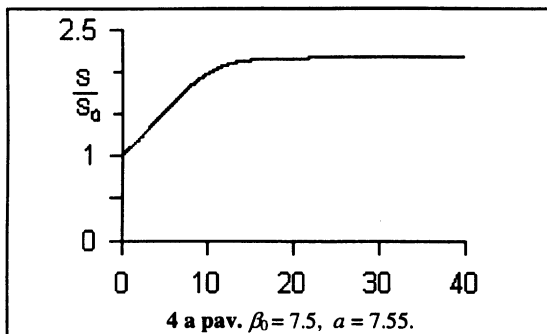
$$\alpha_m = \frac{\beta_0^2 n}{\beta_0 n - (\pi/2 + 2k\pi)/h}, \quad (9)$$

$k = 0, 1, 2, \dots$

Šalia kreivių (9) D-suskaidyme yra ypatinga kreivė, atitinkanti reikšmę  $\lambda = 0$ . Ją atitinka dvi tiesės:  $\alpha_m = \beta_0$  ir  $\beta_0 = 0$ . D-suskaidymas pavaizduotas pav. 3.



Lygties (6) artutiniai sprendiniai pavaizduoti 4 a, 4 b ir 4 c pav.



## 6. Modelio, aprašomo modifikuotu Mono dėsniu, analizė

Nagrinėsime diferencialinę lygtį su vėlavimu:

$$S'(t) = \frac{\alpha_m S(t-h)}{1 + \alpha S^n(t-h)} - \beta_0 S(t). \quad (10)$$

Lygtis (10) turi dvi pusiausvyros būsenas  $S(t) = 0$  ir  $S(t) = \sqrt[n]{\frac{\alpha_m - \beta_0}{a\beta_0}}$ .

Akivaizdu, kad nulinė pusiausvyros būsena nestabili.

Lygtje (10) darome pakeitimą  $S(t) = \sqrt[n]{\frac{\alpha_m - \beta_0}{a\beta_0}}(1 + x(t))$ , skleidžiame Teiloro eilute nulio aplinkoje, linearizuojame ją ir gauname lygtį:

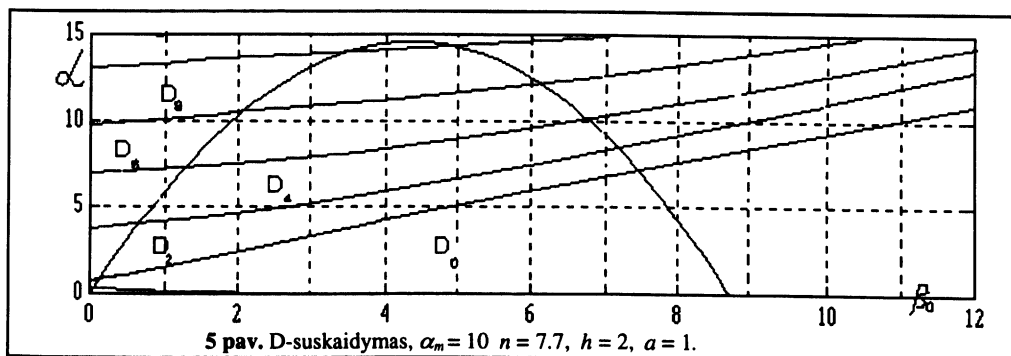
$$x'(t) + \left[ \frac{\beta_0(\alpha_m - \beta_0)n}{\alpha_m} - \beta_0 \right] x(t-h) + \beta_0 x(t) = 0. \quad (11)$$

Jos charakteringas kvazipolinomas

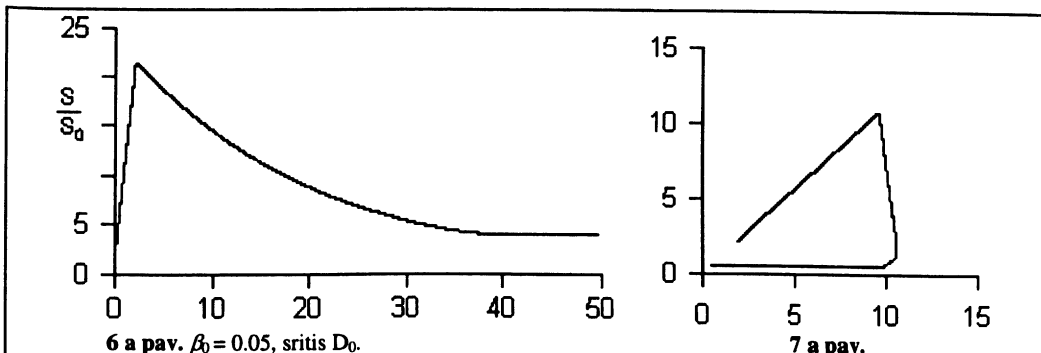
$$P(\lambda) = \lambda + \alpha \cdot e^{-h\lambda} + \beta_0 = 0, \quad (12)$$

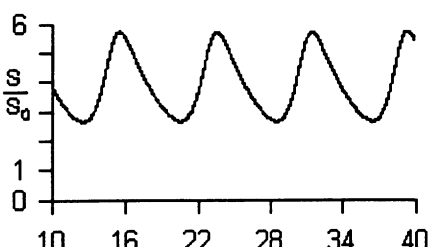
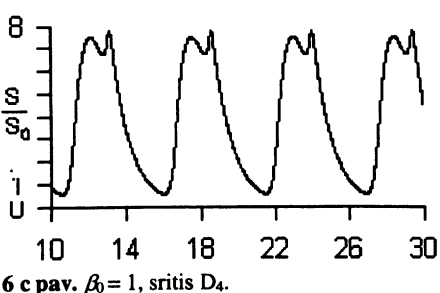
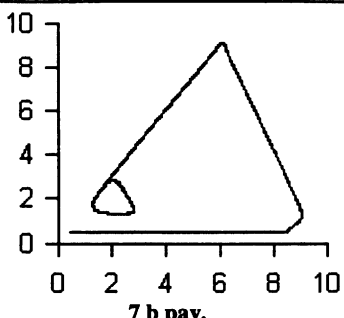
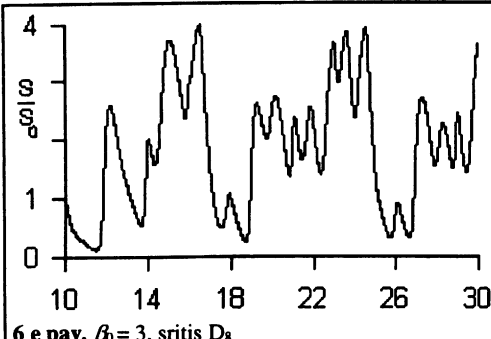
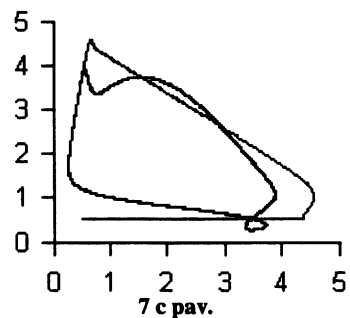
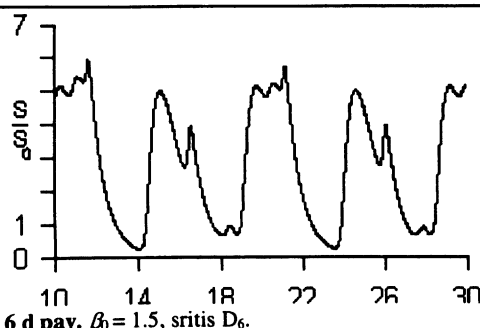
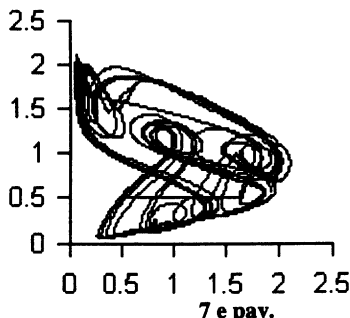
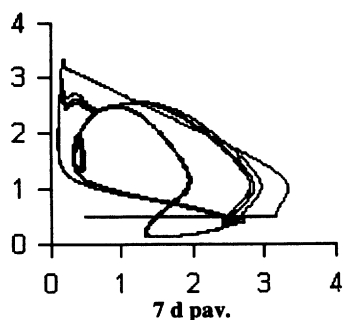
$$\text{kur } \alpha = \frac{(\alpha_m - \beta_0)\beta_0 n}{\alpha_m} - \beta_0.$$

Kvazipolinomo (12) D-suskaidymas parametru  $\alpha$  ir  $\beta_0$  plokštumoje pavaizduotas 5 pav.



Lygties (6) artutiniai sprendiniai pavaizduoti 6 a–e pav. 7 a–e pav. pavaizduotas vaizdas fazinėje plokštumoje, kur absocių ašyje atidėtas sprendinys  $S(t)$ , o ordinačių –  $S(t-h)$ .



6 b pav.  $\beta_0 = 0.2$ , sritis D<sub>2</sub>.6 c pav.  $\beta_0 = 1$ , sritis D<sub>4</sub>.6 e pav.  $\beta_0 = 3$ , sritis D<sub>8</sub>.6 d pav.  $\beta_0 = 1.5$ , sritis D<sub>6</sub>.

7 d pav.

Kaip matome iš 6d ir 6e pav., M. Mackey vadinamas chaosas reiškia kelių dažnių periodinių sprendinių superpoziciją, t.y. tokie "chaotiški" sprendiniai atsiranda kai charakteringas kvazipolinomas (12) turi 3 ir daugiau porų kompleksiškai sujungtinių šaknų su teigiamomis realiomis dalimis.

## LITERATŪRA

- [1] Reimann H.A. *Periodic Diseases*, Philadelphia. - 1963.
- [2] Кинетика форменных элементов крови / Е.Мосягина и др., - Москва: Медицина, 1976.
- [3] Швитра Д. И. *Динамика физиологических систем*, Вильнюс : Мокслас, 1989.
- [4] Колесов Ю.С, Швитра Д. И. *Автоколебания в системах с запаздыванием*. Вильнюс : Мокслас, 1979.

### Dinamic of blood pluripotential stem cell formation processes

D. Švitra, R. Retkutė

It has been suspected that periodical haematological diseases arise because of abnormalities in the feedback mechanism that regulate blood cell number. It is generally believed that there exist the self maintaining pluripotential stem cell population (PPSC) capable of producing committed stem cells specialised for the erythroid, myeloid or thromboid cell lines. The production of PPSC is regulated by two types of feedback mechanisms: (1) long range humoral mechanisms; (2) local environmental mechanisms. The property of these feedback mechanisms is the presence of time delays which arise, for example, because of finite cell maturation time. With the help of difference-differential equations the processes of the PPSC production are modeled. The models, which use logistic and Mono lows are linear analised and simulated by computer.